

Přílohy:

Příloha I: GPS koordináty lužních lesů

Příloha II: Tabulky korelace vegetačních parametrů

Příloha III: Grafické znázornění kumulativní četnosti ptačích druhů na konkrétních sčítacích bodech

Příloha I: GPS koordináty lužních lesů

Tabulka I-1: GPS koordináty jednotlivých sčítacích čtverců

lokality - čtverec	zeměpisná šířka	zeměpisná délka
PR Niva Dyje 1	48.7672853N	16.8636869E
PR Niva Dyje 2	48.7761947N	16.8678497E
CHKO Dunajské luhy 1	48.1156908N	17.1543956E
CHKO Dunajské luhy 2	48.0952867N	17.1607469E
CHKO Dunajské luhy 3	48.0791758N	17.1980833E
CHKO Dunajské luhy 4	48.0504386N	17.1610044E
CHKO Dunajské luhy 5	47.8981106N	17.4836422E
CHKO Dunajské luhy 6	47.7715869N	17.7144839E
CHKO Litovelské Pomoraví 1	49.7045908N	17.1077081E
CHKO Litovelské Pomoraví 2	49.7042300N	17.1285864E
CHKO Litovelské Pomoraví 3	49.6950422N	17.1197028E
CHKO Litovelské Pomoraví 4	49.6908781N	17.1381994E
CHKO Litovelské Pomoraví 5	49.6768561N	17.1759647E
soutok řek Moravy a Dyje 1	48.6979747N	16.9727811E
soutok řek Moravy a Dyje 2	48.7007786N	16.9620953E
soutok řek Moravy a Dyje 3	48.6998300N	16.9441994E
soutok řek Moravy a Dyje 4	48.6829883N	16.9490489E
soutok řek Moravy a Dyje 5	48.6858217N	16.9426117E
soutok řek Moravy a Dyje 6	48.6672606N	16.9559583E
soutok řek Moravy a Dyje 7	48.6594942N	16.9602928E
soutok řek Moravy a Dyje 8	48.6499969N	16.9577178E
soutok řek Moravy a Dyje 9	48.6410653N	16.9519672E
soutok řek Moravy a Dyje 10	48.6337200N	16.9569883E
PR Úpor-Černínovsko	50.2971981N	14.4945575E
NPR Libický luh severní část	50.1099083N	15.1731458E
NPR Libický luh jižní část	50.0993284N	15.1672389E

Příloha II: Tabulky korelace vegetačních parametrů

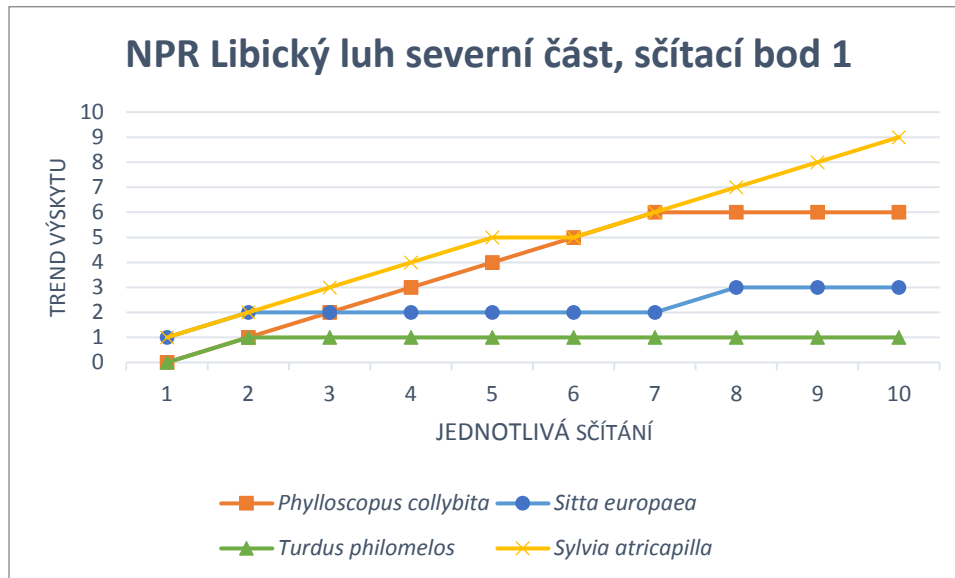
Tabulka II-1: Tabulka zobrazující korelační koeficient (r) vegetačních parametrů (byliny, křoví, listnaté stromy do 10 m, listnaté stromy nad 10 m, jehličnaté stromy do 10 m, jehličnaté stromy nad 10 m, voda, louka, mladá stromy, staré stromy, hustota vegetace) v měřených lužních lesích.

Korelační koeficient (r)	byliny		křoví		listn. stromy do 10 m		listn. stromy nad 10 m		jehličn. stromy do 10 m		jehličn. stromy nad 10 m		voda		louka		mladá stromy		staré stromy		hustota vegetace	
	byliny	křoví	listn. stromy do 10 m	listn. stromy nad 10 m	listn. stromy nad 10 m	jehličn. stromy nad 10 m	jehličn. stromy do 10 m	jehličn. stromy nad 10 m	voda	louka	mladá stromy	staré stromy	hustota vegetace									
byliny	1.0000000	0.15585608	0.09346356	-0.03534544	0.036683651	-0.009060420	-0.16658573	-0.024308443	-0.09882795	0.058355604	-0.35146411											
křoví	0.15585608	1.0000000	0.22273770	-0.12197226	0.013860746	0.082831297	0.01002468	-0.027521561	0.03146543	-0.04576975	0.24169707											
listnaté stromy do 10 m	0.09346356	0.22273770	1.0000000	-0.28149073	-0.013733128	-0.054932510	-0.04834577	0.048065947	0.57475685	-0.022476140	-0.14847566											
listnaté stromy nad 10 m	-0.03534544	-0.12197226	-0.28149073	1.0000000	-0.121100117	-0.271206351	-0.17923102	-0.078212651	-0.17736247	0.120660088	0.17403613											
jehličnaté stromy do 10 m	0.03668365	0.01386075	-0.01373313	-0.12110012	1.0000000	-0.004654369	-0.02278561	-0.004654369	0.06102686	-0.004803856	-0.02826501											
jehličnaté stromy nad 10 m	-0.00906042	0.08283130	-0.05493251	-0.27120625	-0.004654369	1.0000000	-0.02278561	-0.004654369	-0.04686105	-0.051796630	0.04567505											
voda	-0.16658573	0.01002468	-0.04834577	-0.17923102	-0.022785606	-0.022785606	1.0000000	-0.022785606	-0.13207590	0.19487114	0.02553916											
louka	-0.02430844	-0.02752156	0.04806595	-0.07821265	-0.004654369	-0.022785606	-0.022785606	1.0000000	0.02446422	-0.030302143	0.04354345											
mladá stromy	0.09882795	0.03146543	0.57475685	-0.17736247	0.061026861	-0.046861050	-0.13207590	0.024464224	1.0000000	-0.21424646	-0.03632386											
staré stromy	0.05835560	-0.04576975	-0.02247614	0.12066010	-0.004803856	-0.051796630	-0.030302143	-0.21424645	1.0000000	0.094250652	1.00000000											
hustota vegetace	-0.35146411	0.24169707	-0.14847566	0.17403613	-0.028265012	0.045675054	0.03539216	0.043543449	-0.03632386	0.094250652	1.00000000											

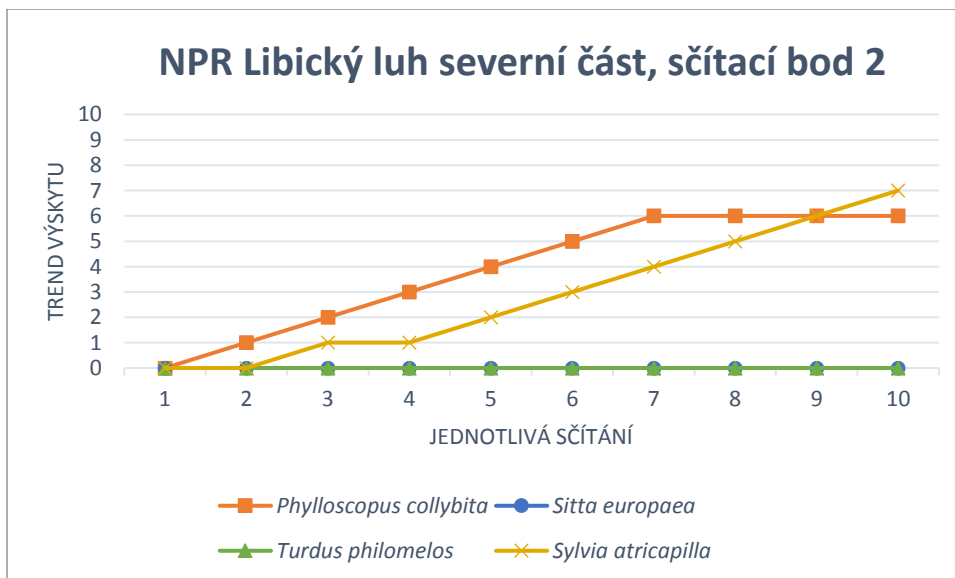
Tabulka II-2: Tabulka zobrazující koeficient determinace (R^2) vegetačních parametrů (byliny, křoví, listnaté stromy do 10 m, listnaté stromy nad 10 m, jehličnaté stromy do 10 m, jehličnaté stromy nad 10 m, voda, louka, mladá stromy, staré stromy, hustota vegetace) v měřených lužních lesích.

Koeficient determinace (R^2)	byliny		křoví		listn. stromy do 10 m		listn. stromy nad 10 m		jehličn. stromy do 10 m		jehličn. stromy nad 10 m		voda		louka		mladá stromy		staré stromy		hustota vegetace	
	byliny	křoví	listn. stromy do 10 m	listn. stromy nad 10 m	listn. stromy nad 10 m	jehličn. stromy nad 10 m	jehličn. stromy do 10 m	jehličn. stromy nad 10 m	voda	louka	mladá stromy	staré stromy	hustota vegetace									
byliny	1.0000000e+00	0.0242911182	0.0087354374	0.001249300	0.001249300	1.345690e-03	1.345690e-03	6.209121e-05	0.0277506066	0.00055909004	0.0097669642	3.405376e-03	0.1235270221									
křoví	2.429121e-02	1.0000000000	0.0496120835	0.044677233	1.921203e-04	6.861024e-03	0.0001004982	0.0007574374	0.0009913321	2.096356e-03	0.0584174734											
listnaté stromy do 10 m	0.0087354374	0.0496120835	1.0000000000	0.079237031	1.855988e-04	3.017581e-03	0.003373139	0.0023503352	0.3303477353	5.051769e-04	0.020450804											
listnaté stromy nad 10 m	-0.001249300	-0.044677233	-0.079237031	1.0000000000	1.466524e-02	7.352282e-02	0.0321237603	0.0061172187	0.0314645401	1.458866e-02	0.0302685731											
jehličnaté stromy do 10 m	0.0001004982	0.0009913321	0.0001004982	0.0001004982	1.000000e+00	2.356490e-05	0.0005191838	0.0000235649	0.0036152395	2.307703e-05	0.002862106											
jehličnaté stromy nad 10 m	0.0242911182	0.044677233	0.079237031	0.0001004982	1.345690e-05	6.209121e-05	0.0005191838	0.000235649	0.0021959580	3.113467e-03	0.002862106											
voda	0.0277506066	0.0009913321	0.0001004982	0.0001004982	5.191838e-04	5.191838e-04	1.0000000000	0.0005191838	0.0174440434	3.797475e-02	0.006522465											
louka	6.209121e-05	0.0007574374	0.0009913321	0.0001004982	2.356490e-05	2.356490e-05	0.0005191838	1.0000000000	0.0005964983	9.181653e-04	0.0018960319											
mladá stromy	0.0097669642	0.0009913321	0.0001004982	0.0001004982	3.615239e-03	2.193958e-03	0.0174440434	0.0005964983	1.0000000000	4.512423e-02	0.001394226											
staré stromy	3.405376e-03	0.0009913321	0.0001004982	0.0001004982	2.307703e-05	2.307703e-05	0.0379747512	0.0009181653	0.0451243303	1.000000e+00	0.0086831654											
hustota vegetace	1.235270e-01	0.0584174734	0.020450804	0.030268573	7.989109e-04	2.066221e-03	0.006522465	0.0018960319	0.001394226	6.883185e-03	1.0000000000											

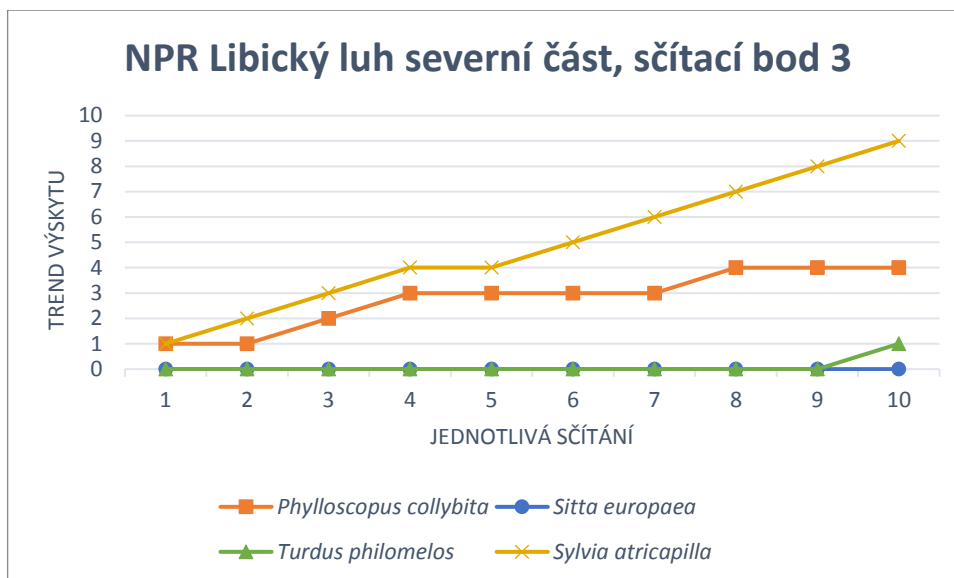
Příloha III: Grafické znázornění kumulativní četnosti ptačích druhů na konkrétních sčítacích bodech



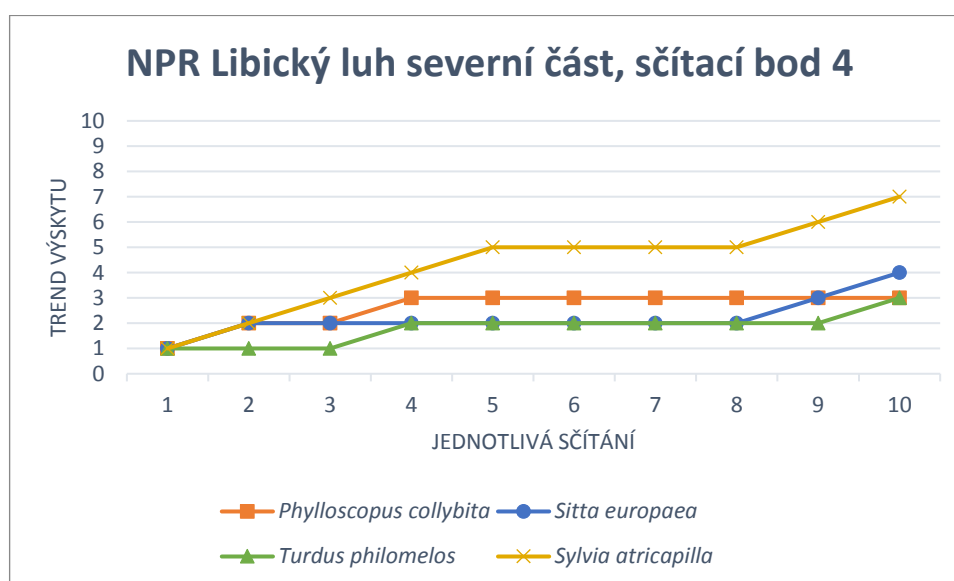
Obrázek III–1: Graf znázorňující kumulativní četnost čtyř ptačích druhů během deseti sčítání na sčítacím bodu 1 na lokalitě NPR Libický luh severní část.



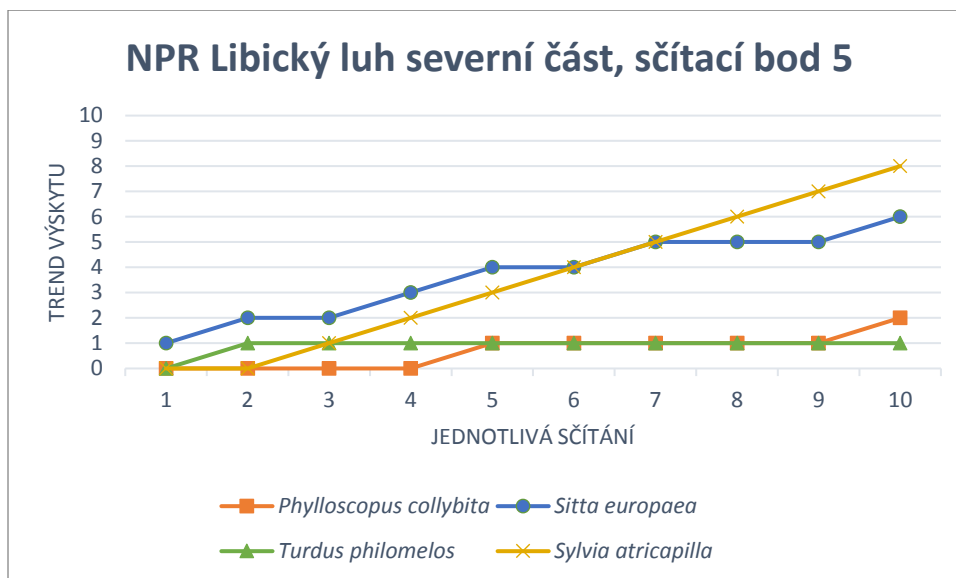
Obrázek III–2: Graf znázorňující kumulativní četnost čtyř ptačích druhů během deseti sčítání na sčítacím bodu 2 na lokalitě NPR Libický luh severní část.



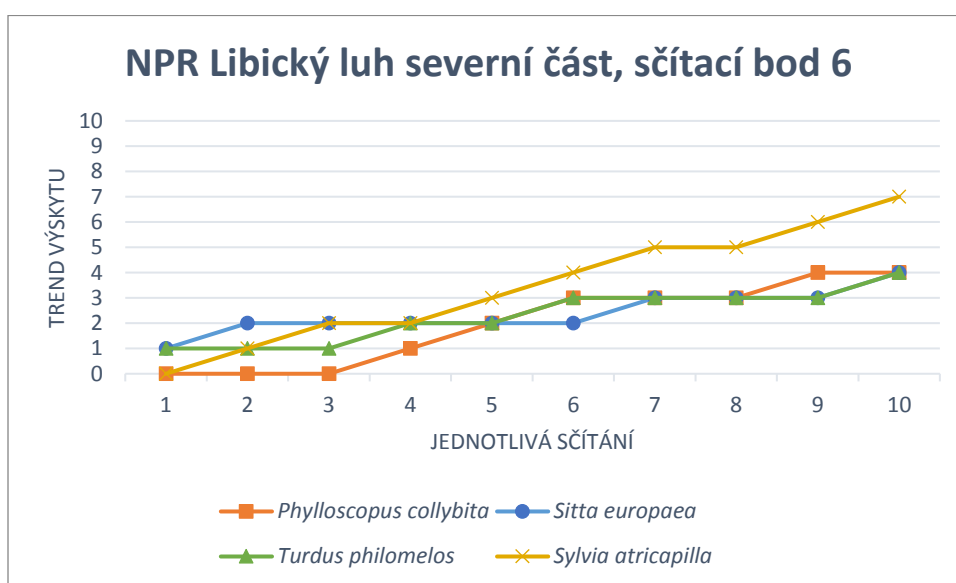
Obrázek III–3: Graf znázorňující kumulativní četnost čtyř ptačích druhů během deseti sčítání na sčítacím bodu 3 na lokalitě NPR Libický luh severní část.



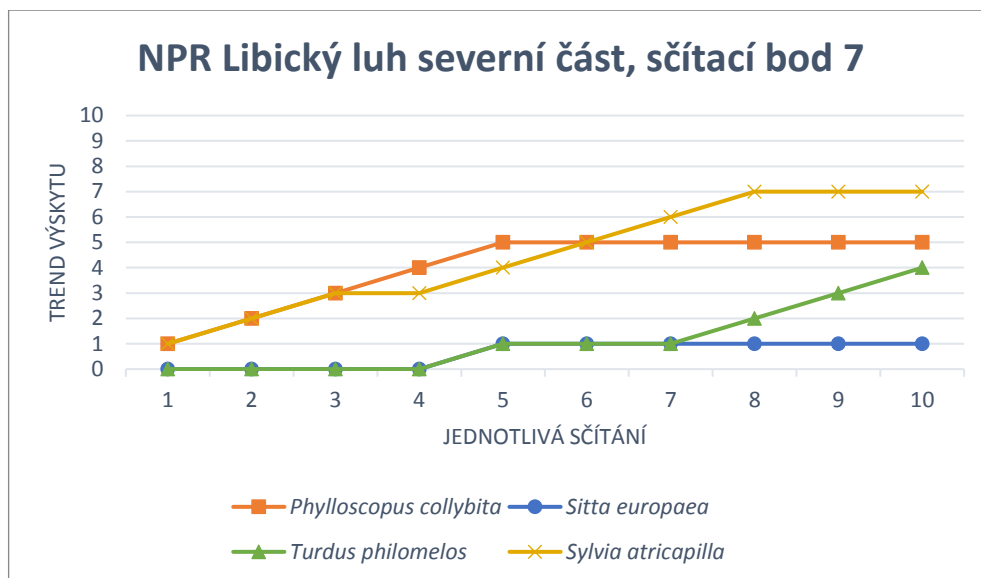
Obrázek III–4: Graf znázorňující kumulativní četnost čtyř ptačích druhů během deseti sčítání na sčítacím bodu 4 na lokalitě NPR Libický luh severní část.



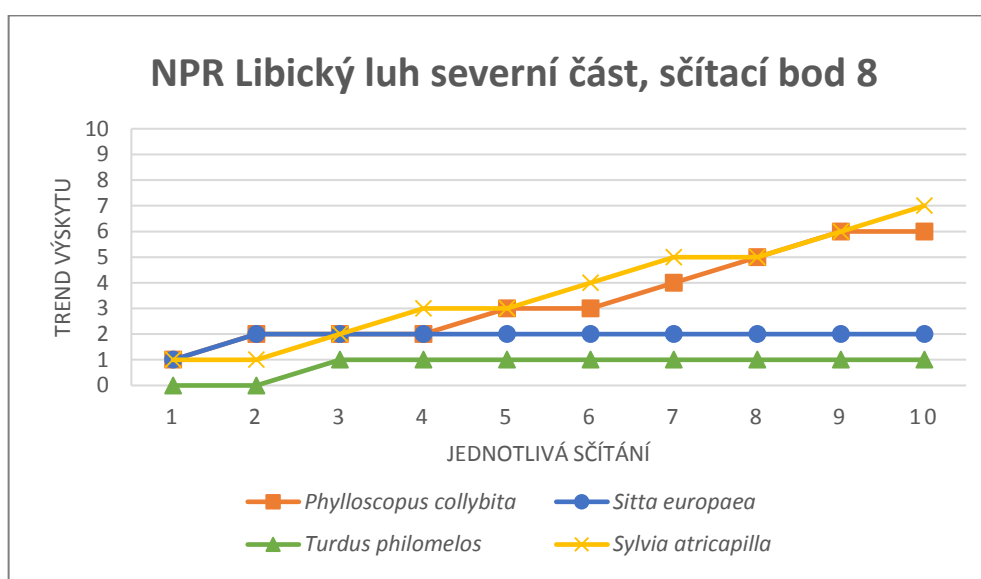
Obrázek III–5: Graf znázorňující kumulativní četnost čtyř ptačích druhů během deseti sčítání na sčítacím bodu 5 na lokalitě NPR Libický luh severní část.



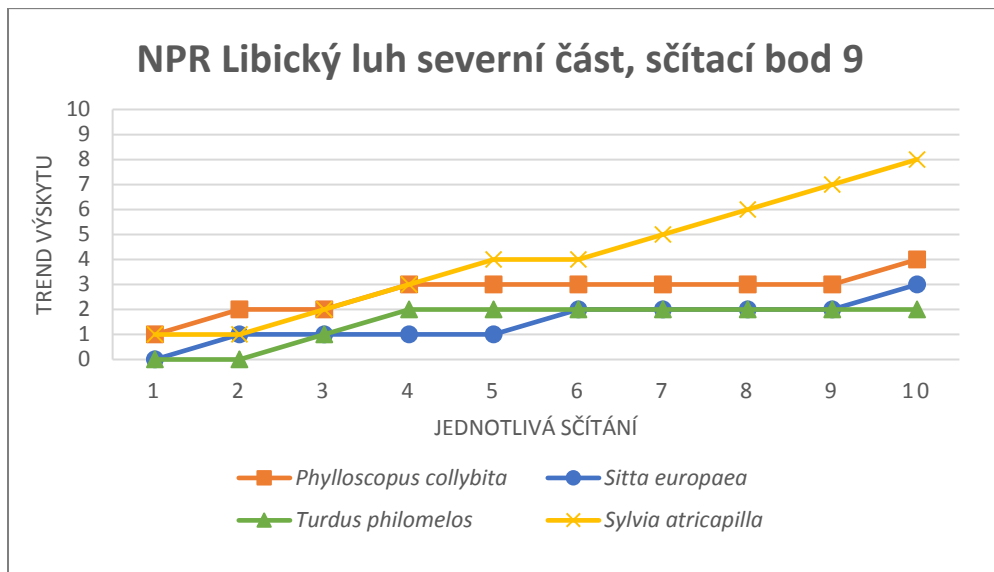
Obrázek III–6: Graf znázorňující kumulativní četnost čtyř ptačích druhů během deseti sčítání na sčítacím bodu 6 na lokalitě NPR Libický luh severní část.



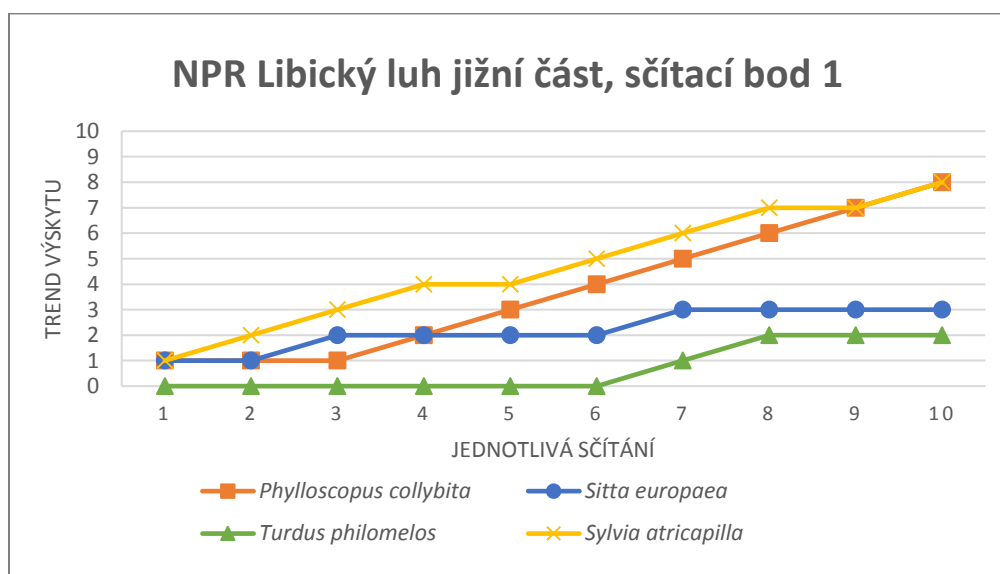
Obrázek III–7: Graf znázorňující kumulativní četnost čtyř ptačích druhů během deseti sčítání na sčítacím bodu 7 na lokalitě NPR Libický luh severní část.



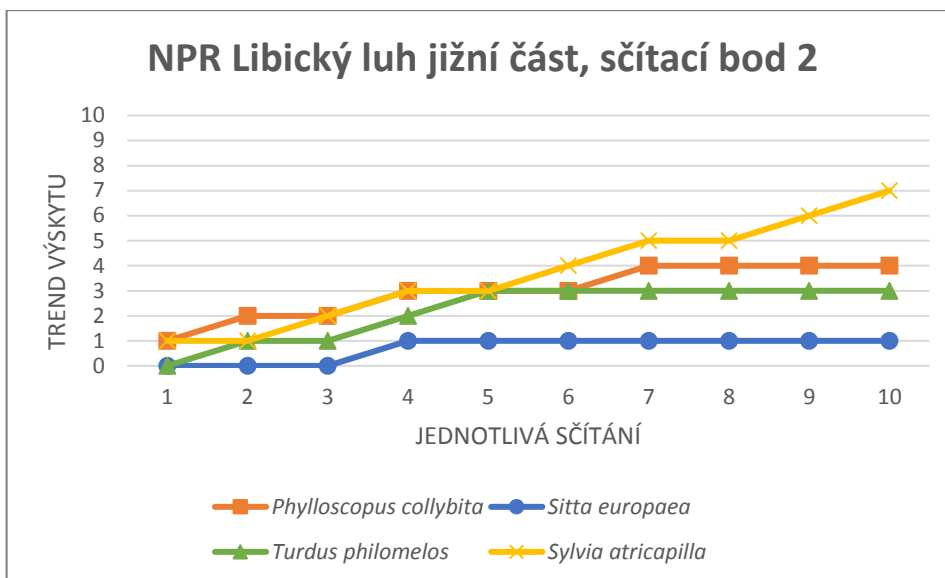
Obrázek III–8: Graf znázorňující kumulativní četnost čtyř ptačích druhů během deseti sčítání na sčítacím bodu 8 na lokalitě NPR Libický luh severní část.



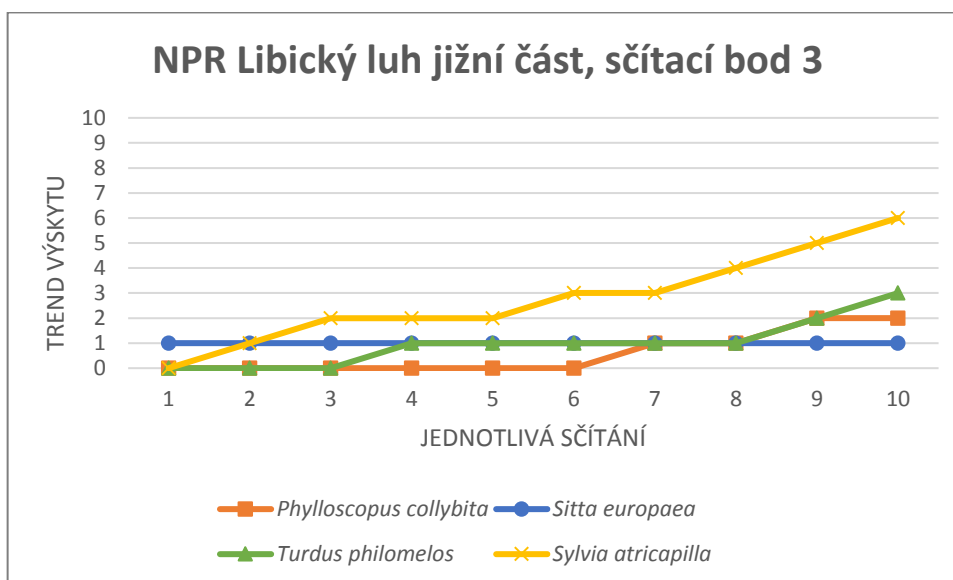
Obrázek III–9: Graf znázorňující kumulativní četnost čtyř ptačích druhů během deseti sčítání na sčítacím bodu 9 na lokalitě Libický luh severní část.



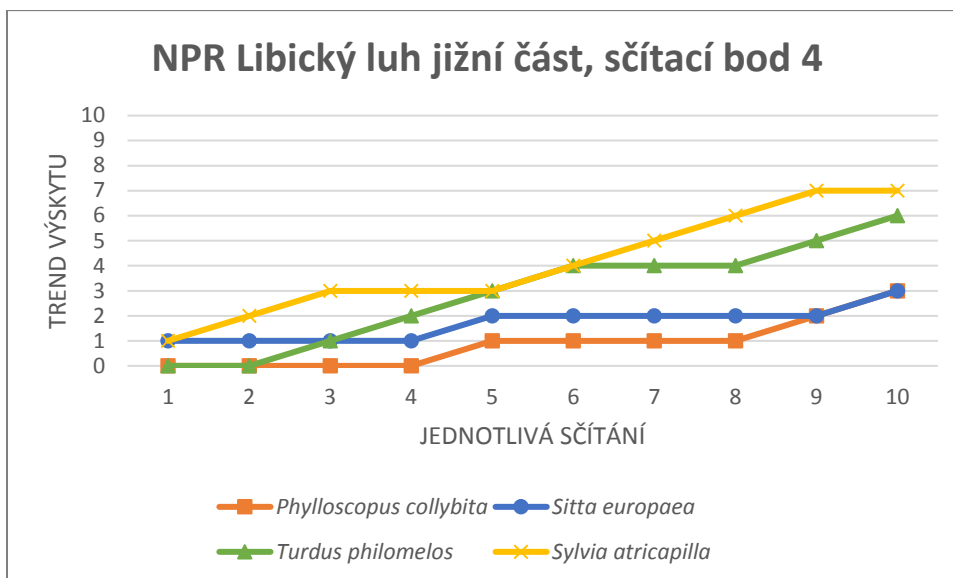
Obrázek III–10: Graf znázorňující kumulativní četnost čtyř ptačích druhů během deseti sčítání na sčítacím bodu 1 na lokalitě Libický luh jižní část.



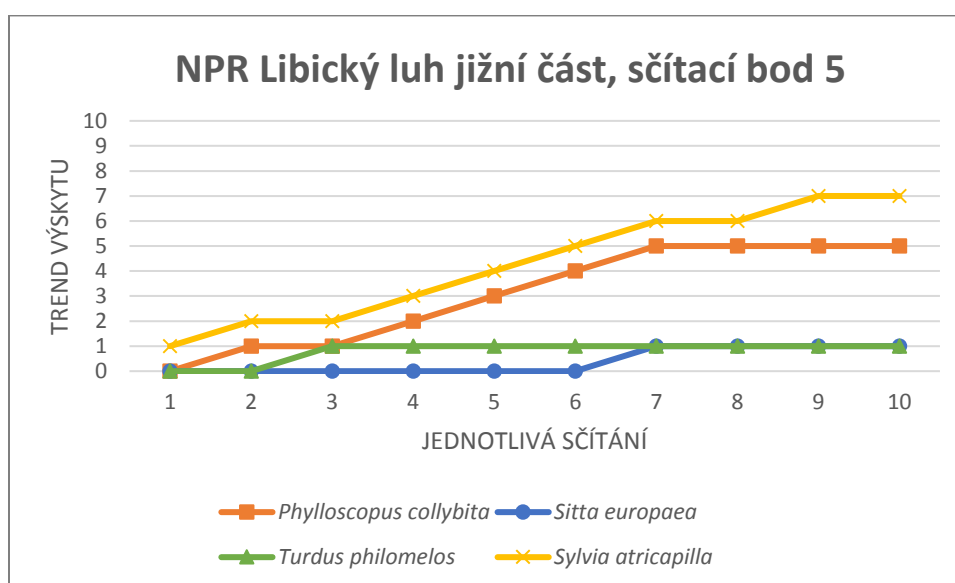
Obrázek III–11: Graf znázorňující kumulativní četnost čtyř ptačích druhů během deseti sčítání na sčítacím bodu 2 na lokalitě NPR Libický luh jižní část.



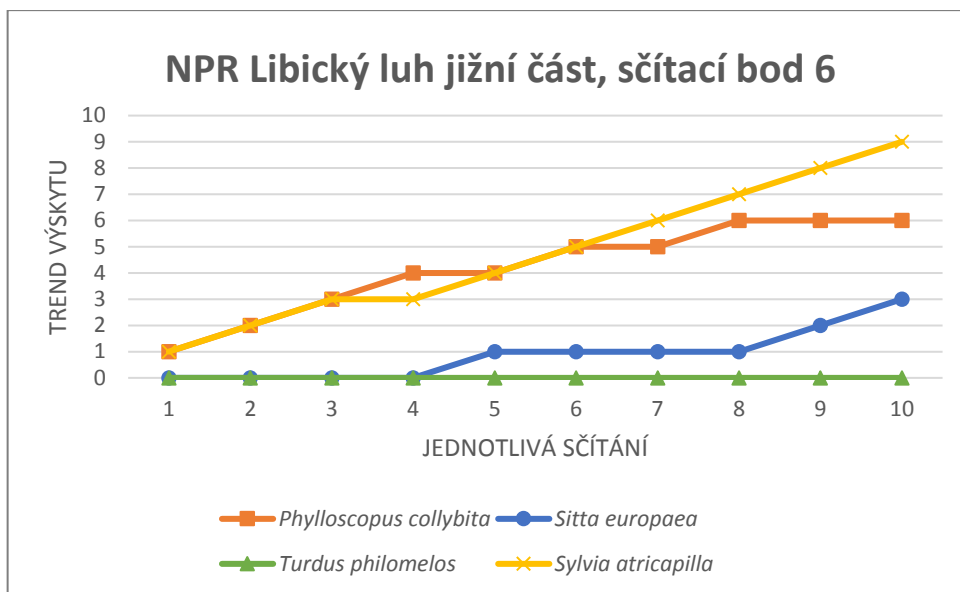
Obrázek III–12: Graf znázorňující kumulativní četnost čtyř ptačích druhů během deseti sčítání na sčítacím bodu 3 na lokalitě NPR Libický luh jižní část.



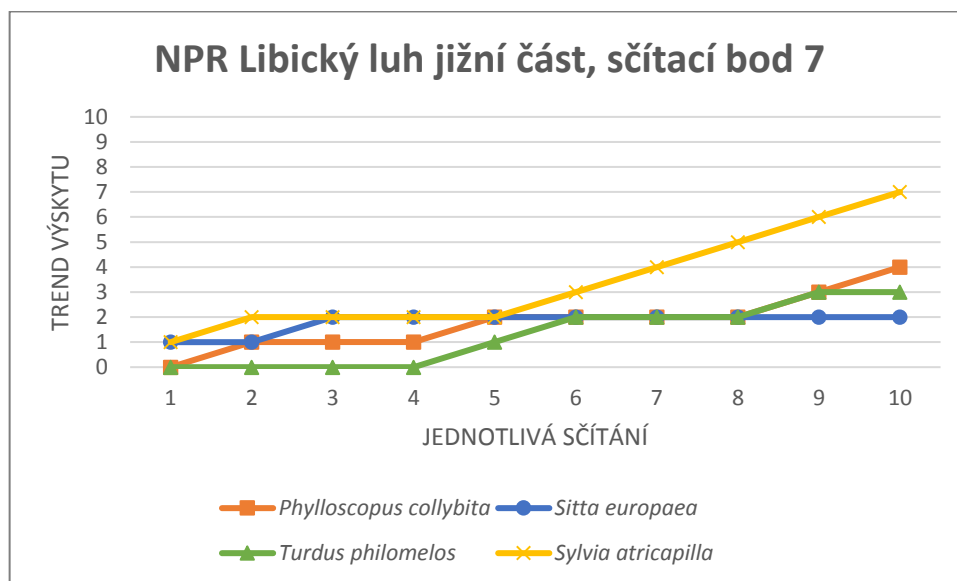
Obrázek III–13: Graf znázorňující kumulativní četnost čtyř ptačích druhů během deseti sčítání na sčítacím bodu 4 na lokalitě NPR Libický luh jižní část.



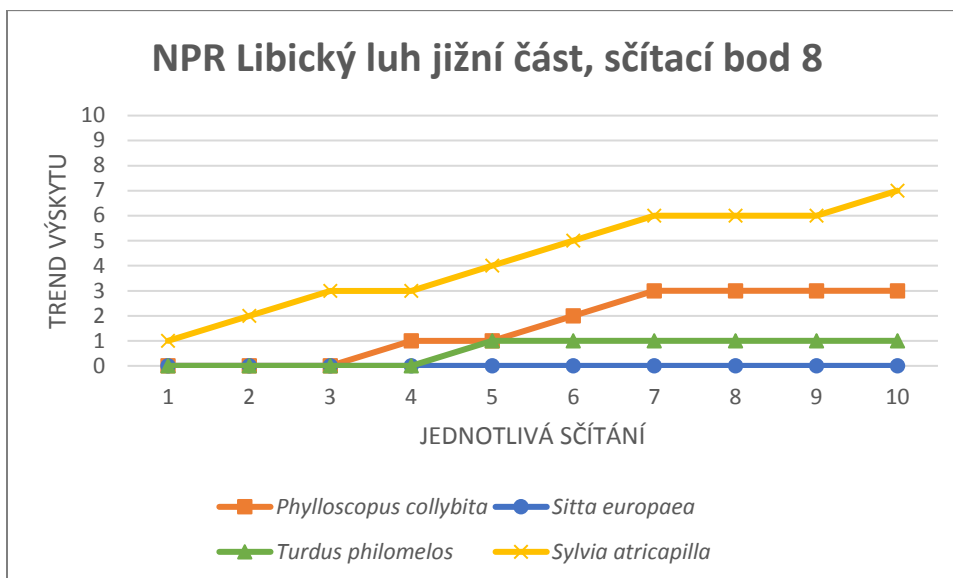
Obrázek III–14: Graf znázorňující kumulativní četnost čtyř ptačích druhů během deseti sčítání na sčítacím bodu 5 na lokalitě NPR Libický luh jižní část.



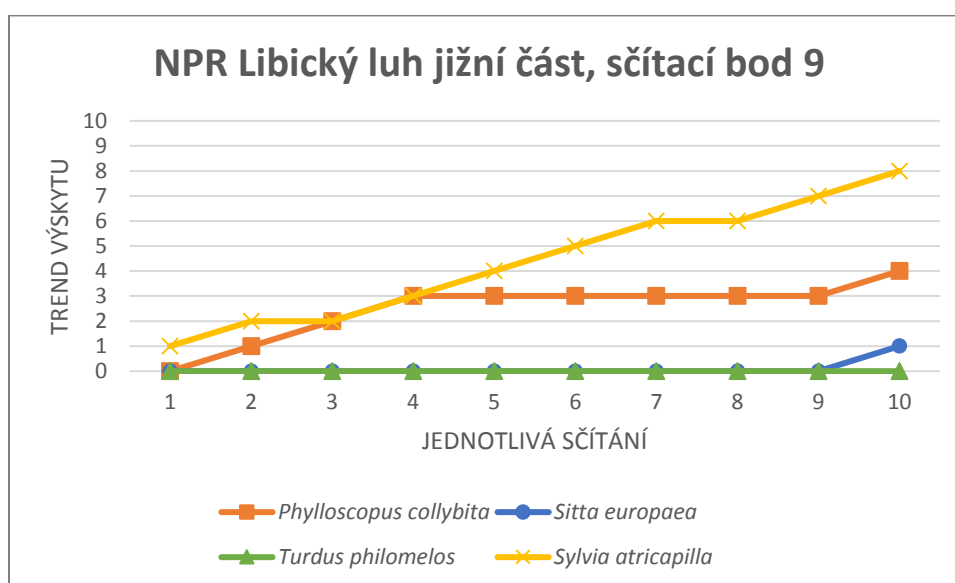
Obrázek III–15: Graf znázorňující kumulativní četnost čtyř ptačích druhů během deseti sčítání na sčítacím bodu 6 na lokalitě NPR Libický luh jižní část.



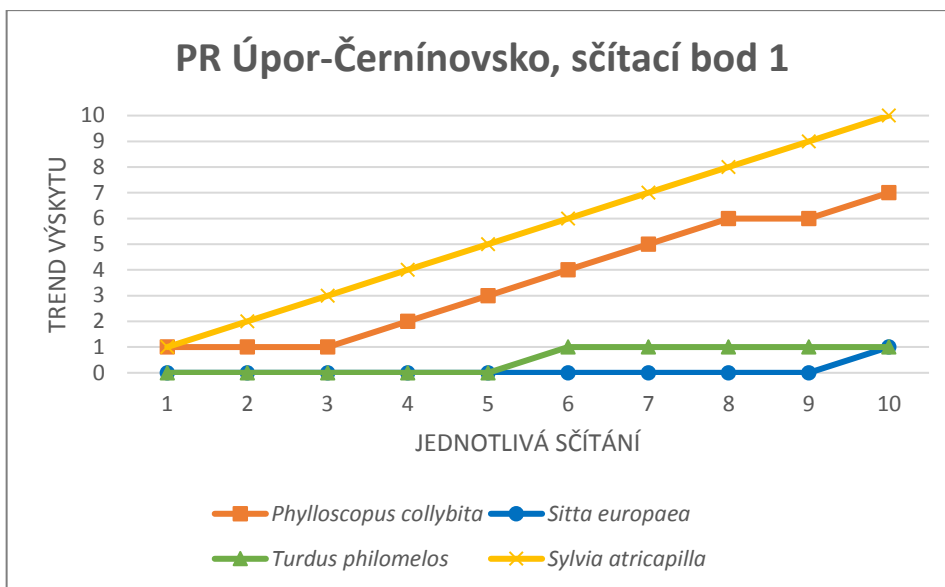
Obrázek III–16: Graf znázorňující kumulativní četnost čtyř ptačích druhů během deseti sčítání na sčítacím bodu 7 na lokalitě NPR Libický luh jižní část.



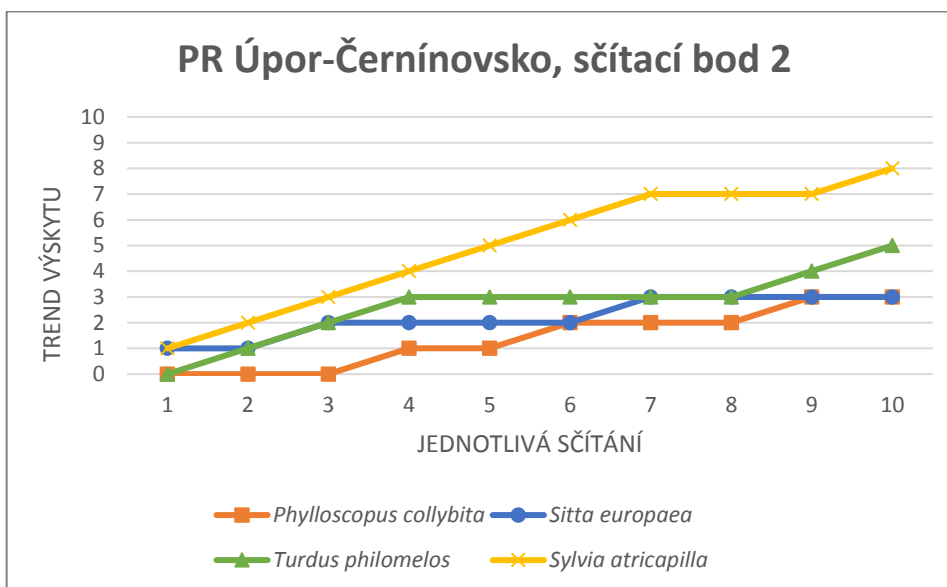
Obrázek III–17: Graf znázorňující kumulativní četnost čtyř ptačích druhů během deseti sčítání na sčítacím bodu 8 na lokalitě NPR Libický luh jižní část.



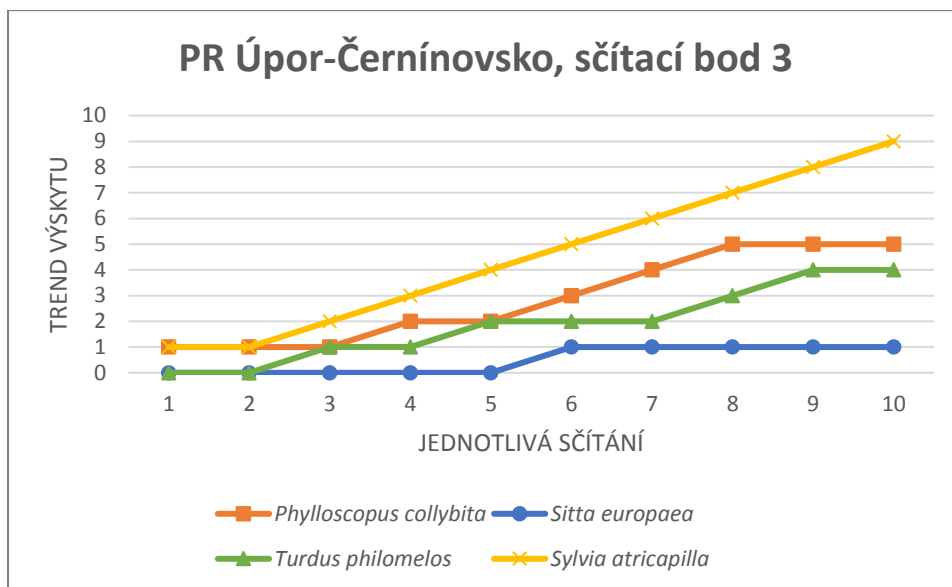
Obrázek III–18: Graf znázorňující kumulativní četnost čtyř ptačích druhů během deseti sčítání na sčítacím bodu 9 na lokalitě NPR Libický luh jižní část.



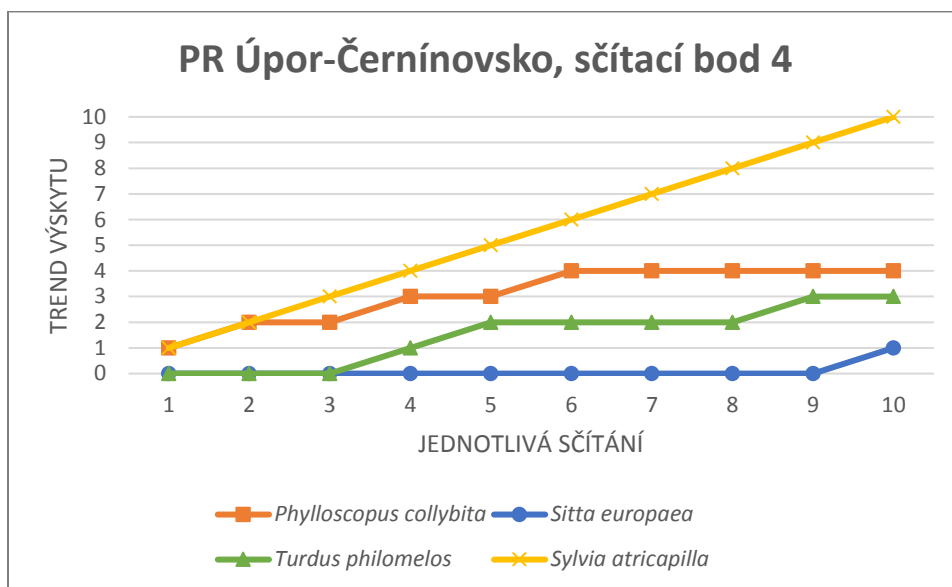
Obrázek III–19: Graf znázorňující kumulativní četnost čtyř ptačích druhů během deseti sčítání na sčítacím bodu 1 na lokalitě PR Úpor-Černínovsko.



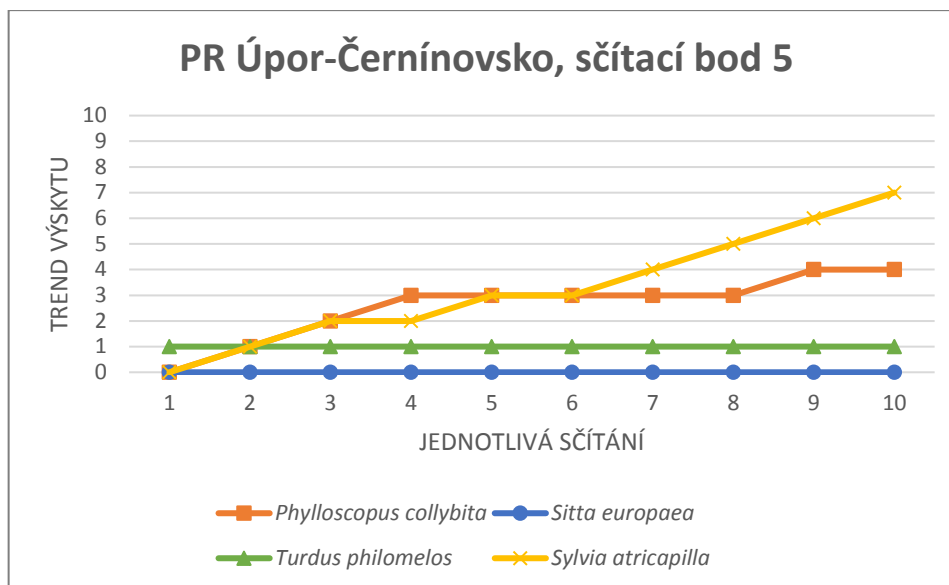
Obrázek III–20: Graf znázorňující kumulativní četnost čtyř ptačích druhů během deseti sčítání na sčítacím bodu 2 na lokalitě PR Úpor-Černínovsko.



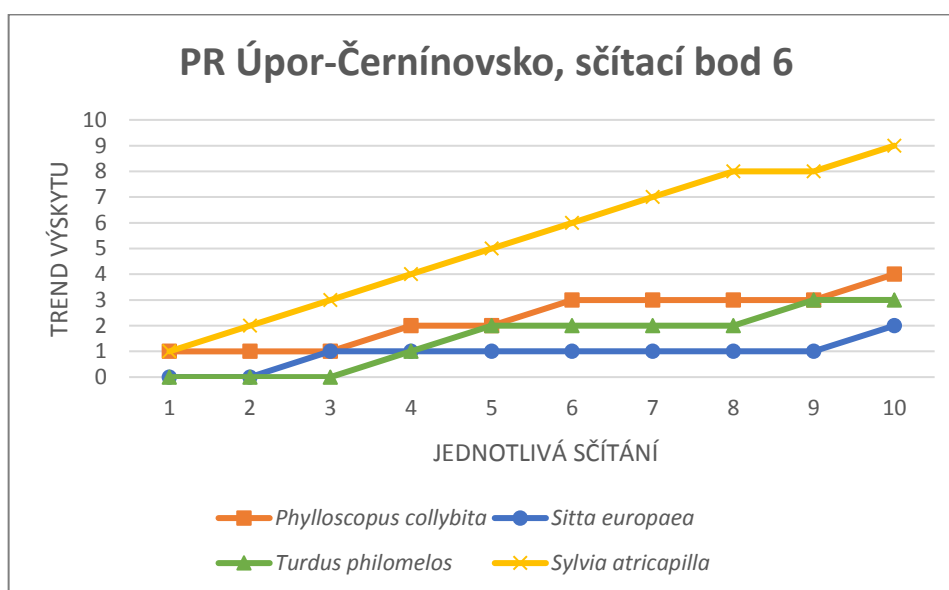
Obrázek III–21: Graf znázorňující kumulativní četnost čtyř ptačích druhů během deseti sčítání na sčítacím bodu 3 na lokalitě PR Úpor-Černínovsko.



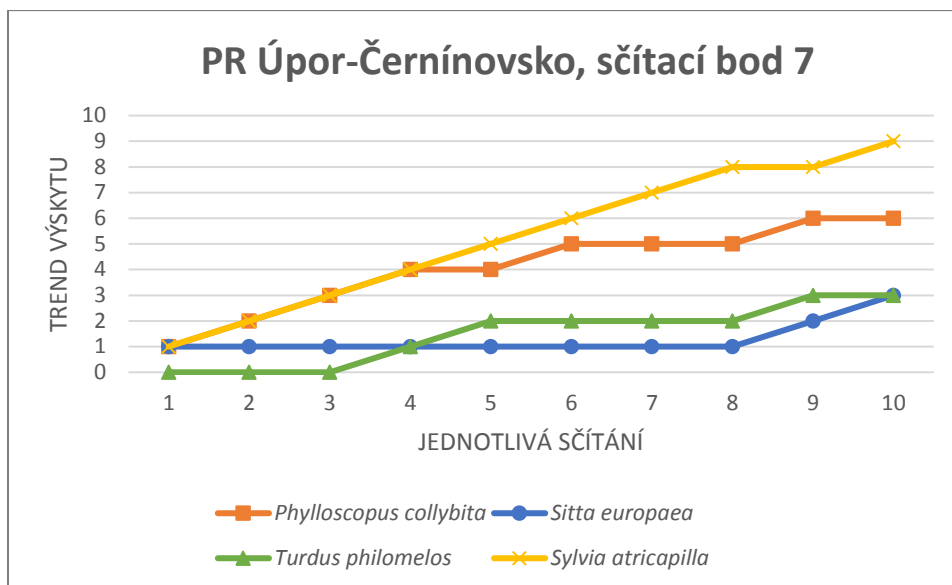
Obrázek III–22: Graf znázorňující kumulativní četnost čtyř ptačích druhů během deseti sčítání na sčítacím bodu 4 na lokalitě PR Úpor-Černínovsko.



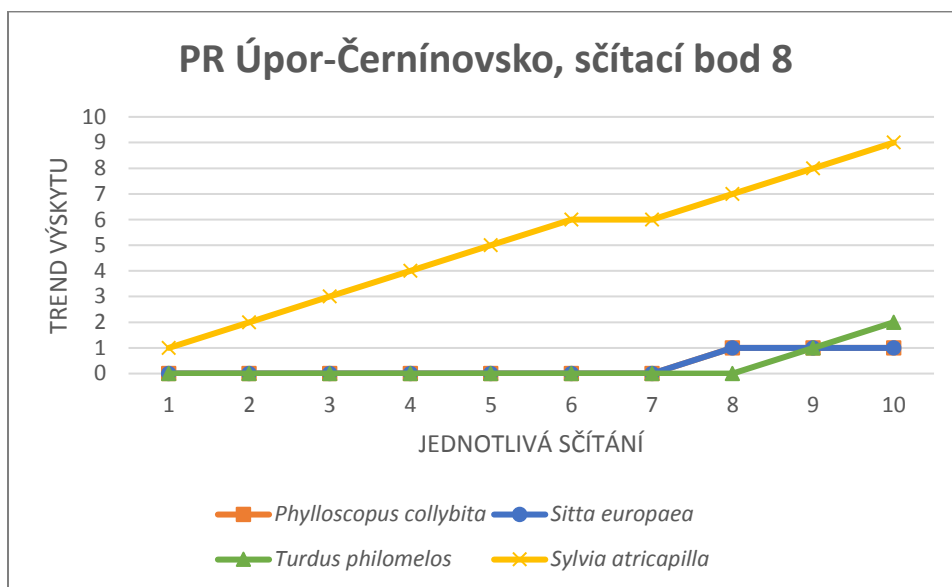
Obrázek III–23: Graf znázorňující kumulativní četnost čtyř ptačích druhů během deseti sčítání na sčítacím bodu 5 na lokalitě PR Úpor-Černínovsko.



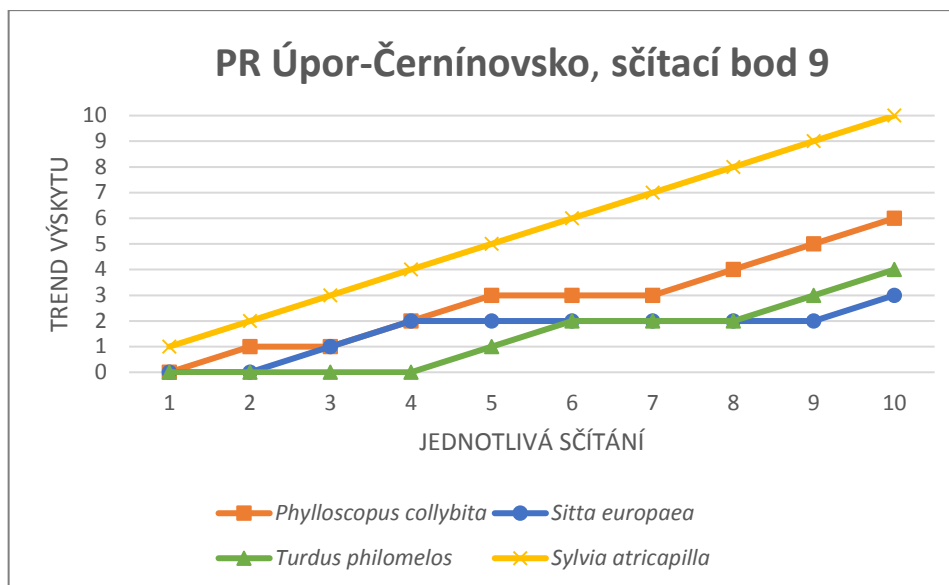
Obrázek III–24: Graf znázorňující kumulativní četnost čtyř ptačích druhů během deseti sčítání na sčítacím bodu 6 na lokalitě PR Úpor-Černínovsko.



Obrázek III–25: Graf znázorňující kumulativní četnost čtyř ptačích druhů během deseti sčítání na sčítacím bodu 7 na lokalitě PR Úpor-Černínovsko.



Obrázek III–26: Graf znázorňující kumulativní četnost čtyř ptačích druhů během deseti sčítání na sčítacím bodu 9 na lokalitě PR Úpor-Černínovsko.



Obrázek III–27: Graf znázorňující kumulativní četnost čtyř ptačích druhů během deseti sčítání na sčítacím bodu 9 na lokalitě PR Úpor-Černínovsko.